

ИСПЫТАТЕЛЬНАЯ ЛАБОРАТОРИЯ
ООО «ЦЕНТРАЛЬНАЯ АНАЛИТИЧЕСКАЯ ЛАБОРАТОРИЯ ПО
ЭНЕРГОСБЕРЕЖЕНИЮ В СТРОИТЕЛЬНОМ КОМПЛЕКСЕ»

420073, г. Казань, ул. Шуртыгина, д. 32, офис 64 тел./факс (843) 2734541
420073, г. Казань, ул. Курская, д. 17

Аттестат № ГОСТ.RU.22076. Зарегистрирован в реестре от 21.01.2021г.
Заключение об оценке состояния измерений № 075-19 от 02.10.2019г.

ПРОТОКОЛ ИСПЫТАНИЙ
4825-22 от 23.12.2022 г.

Основание для проведения испытаний- договор №46/22 от 13.07.22 на проведение лабораторных испытаний.

Наименование продукции – Светопрозрачная конструкция из прессованных алюминиевых профилей системы ТАТПРОФ TFS 50 с двухкамерными энергосберегающими стеклопакетами СПД 6SGRN-14ALAr-4M₁-14ALAr-6TOP N.

Заказчик – АО «ТАТПРОФ»

Адрес – 423800, РТ, г. Набережные Челны, ул. Профильная, д. 53.

Испытание на соответствие требованиям – ГОСТ Р 59913-2021 «Конструкции стоечно-ригельные фасадные из алюминиевых сплавов. Общие технические условия.»
ГОСТ 23166-2021 «Конструкции оконные и балконные светопрозрачные ограждающие. Общие технические условия».

Сведения об испытываемых образцах – Светопрозрачная конструкция из прессованных алюминиевых профилей стоечно-ригельной системы ТАТПРОФ TFS 50 с двухкамерными энергосберегающими стеклопакетами СПД 6SGRN-14ALAr-4M₁-14ALAr-6TOP N. Производитель стеклопакетов «Российская Стекольная Компания», отношение площади остекления к площади конструкции 0,80. Соединение ригелей со стойками – внахлест, бутиловая лента под прижимными планками проклеена в местах соединения ригелей со стойками, по 100 мм в каждую сторону. Термовставка– пенополиэтилен.

Дата получения образцов	6.10.2022 г.
№ регистрации образцов в ИЛ	4825-22
Дата испытаний	10.11-20.12.2022 г.

Результаты испытаний в приложении 1,2,3 к протоколу на 17листах.

Заключение: Светопрозрачная конструкция из прессованных алюминиевых профилей стоечно-ригельной системы ТАТПРОФ TFS 50 с двухкамерными энергосберегающими стеклопакетами СПД 6SGRN-14ALAr-4M₁-14ALAr-6TOP N в полном заводском изготовлении организации производителя АО «ТАТПРОФ» удовлетворяют нормативным требованиям в соответствии с ГОСТ 59913-2021, ГОСТ 23166-2021 .

Результаты испытаний распространяются исключительно на испытываемые образцы.

Директор ООО «ЦАЛЭСК»



Н.С. Соколова

Приложение
к протоколу испытаний
№ 4825-22 от 23.12.2022 г.

Основные показатели и результаты испытаний светопрозрачной конструкции из прессованных алюминиевых профилей
стоечно-ригельной системы ТАТПРОФ TFS 50 с двухкамерными энергосберегающими стеклопакетами
СПД 6SGRN-14ALAg-4M₁-14ALAg-6TOP N выпускаемой АО «ТАТПРОФ».

№ п/п	Наименование основных показателей по НД	Единица измерения	Нормативный документ на метод испытания	Наименование испытательного оборудования и средств измерения, зав №	Маркировка образца	Нормативное значение	Фактическое значение
	2	3	4	5	6	7	8
1.	<p>Приведенное сопротивление теплопередаче светопрозрачной конструкции 1500x1350 с СПД. Площадь конструкции 2,02 м² при отношении площади остекления к площади конструкции 0,80. При температуре воздуха в тепловой зоне климатической камеры +20°C и температурных режимов в холодной зоне камеры, составляет:</p> <p>$t_{н-20^{\circ}\text{C}}$</p> <p>$t_{н-25^{\circ}\text{C}}$</p> <p>$t_{н-30^{\circ}\text{C}}$</p> <p>$t_{н-35^{\circ}\text{C}}$</p>	м ² С/Вт	<p>ГОСТ 26602.1-99</p> <p>ГОСТ 23166-2021</p> <p>ГОСТ Р 59913-2021</p>	<p>Климатическая камера</p> <p>Аттестат №3387 от 26.06.2002 ФГУ «ТатЦСМ»</p> <p>Протокол № 146-21 до 28.10.2023 г.</p> <p>ООО «ЦАЛЭСК»</p>	4825-22	<p>В соответствии с СП 50.13330.2012, в зависимости от градусо-суток отопительного периода</p>	<p>1,158</p> <p>1,094</p> <p>1,023</p> <p>0,982</p>



2.	<p>Объемная воздухопроницаемость образца при перепаде давлений $\Delta P=100$ Па:</p> <ul style="list-style-type: none"> - приведенная к общей площади изделия, составляет - массовая воздухопроницаемость <p>Класс воздухопроницаемости</p>	<p>$m^3/ч \cdot m^2$</p> <p>$кг/ч \cdot m^2$</p>	<p>ГОСТ 26602.2-99</p> <p>ГОСТ 23166-2021 (табл.1)</p> <p>ГОСТ Р 59913-2021</p>	<p>Испытательная установка определения воздухо и водопроницаемости</p> <p>Аттестат №2388 от 26.06.2002 ФГУ «ТатЦСМ»</p> <p>Протокол № 147-21 до 10.11.2023 г.</p> <p>ООО «ЦАЛЭСК»</p>	<p>4825-22</p>	<p>9,0</p> <p>5,0</p> <p>Не ниже «Б»</p>	<p>3,7</p> <p>4,4</p> <p>«Б»</p>
3.	<p>Водопроницаемость</p> <p>Класс водопроницаемости</p>	<p>Па</p>	<p>ГОСТ 26602.2-99</p> <p>ГОСТ 23166-2021 (табл.2)</p> <p>ГОСТ Р 59913-2021</p>	<p>Испытательная установка определения воздухо и водопроницаемости</p> <p>Аттестат №2388 от 26.06.2002 ФГУ «ТатЦСМ»</p> <p>Протокол № 147-21 до 10.11.2023 г.</p> <p>ООО «ЦАЛЭСК»</p>	<p>4825-22</p>	<p>450</p> <p>Не ниже «Б»</p>	<p>не выше 800</p> <p>Не обнаружено сквозного проникновения воды через образец</p> <p>«А»</p>
4.	<p>Изоляция воздушного шума транспортного потока светопрозрачной конструкции, составляет</p> <p>Класс звукоизоляции</p>	<p>дБА</p>	<p>ГОСТ 27296-2012</p> <p>СП51.13330.2011</p> <p>ГОСТ 23166-2021 (табл.3)</p>	<p>Испытательная камера для определения звукоизоляции</p> <p>№3385 от 26.06.2002 ФГУ «ТатЦСМ»</p> <p>Протокол № 151-21 до 29.10.2023 г.</p> <p>ООО «ЦАЛЭСК»</p>	<p>4825-22</p>	<p>Не менее 19</p> <p>Не ниже «Д»</p>	<p>32</p> <p>«А»</p>



5.	<p>Определение предельного относительного прогиба элементов конструкции при заданном ветровом давлении</p> <p>Класс сопротивления ветровой нагрузке</p>	Па	<p>ГОСТ 26602.5-2001</p> <p>ГОСТ 23166-2021 (табл.4, 5)</p> <p>ГОСТ Р 59913-2021</p>	<p>Испытательная установка определения сопротивления ветровой нагрузке № 45</p> <p>Аттестат №9742 от 28.04.2008 ФГУ «ГипЦСМ»</p> <p>Протокол № 155-21 до 26.10.2023г. ООО «ЦАЛЭСК»</p>	4825-22	<p>Рекомендуемое значение по сопротивлению ветровой нагрузки в зависимости от предельного относительного прогиба не ниже <math>1/200</math> длины пролета</p> <p>Не ниже «Б»</p>	<p>Предельный относительный прогиб створочного элемента профилей от воздействия ветрового давления 1605 Па</p> <p>составил - 1/587 длины пролета</p> <p>БА (<math>1/587</math>)</p>
----	---	----	--	--	---------	--	---

Руководитель ИЛООО «ЦАЛЭСК»



А.Н. Мелешко

Основные показатели и результаты испытаний светопрозрачной конструкции из прессованных алюминиевых профилей стоечно-ригельной системы ТАТПРОФ TFS 50 с двухкамерными энергосберегающими стеклопакетами СПД 6SGRN-14ALAg-4M₁-14ALAg-6TOP N в климатической камере с автоматическим поддержанием температуры в холодной и теплой зонах.

1. Таблица показаний измеренных средних температур и теплового потока в характерных зонах за период стационарной теплопередаче

Номер характерной изотермической зоны (Площадь зоны)	Средняя температура на поверхности с внутренней стороны, °C τ_e	Средняя температура на поверхности с наружной стороны, °C τ_n	Средняя плотность теплового потока, Вт/м ² q_{ϕ}
Зона № 1 Зона непрозрачной части конструкции стойка ($A_1 = 0,225\text{ м}^2$)	16,5	-15,5	42
Зона № 2 Зона непрозрачной части конструкции ригель ($A_2 = 0,175\text{ м}^2$)	16,0	-15,0	43
Зона № 3 Зона светопропускающей части СПД ($A_3 = 1,507\text{ м}^2$)	19,5	-16,5	32
Зона № 4 Зона светопропускающей части краевая зона СПД ($A_4 = 0,113\text{ м}^2$)	13,4	-13,0	40

Температурно-влажностный режим при испытании в камере поддерживался в пределах:

- в теплом отсеке температура 20,0-20,5⁰C; влажность 49-50%.

- в холодном отсеке температура -20,0 -20,5⁰C; влажность 60-61%.



2. Обработка результатов

2.1. Термическое сопротивление i -й однородной зоны испытываемого образца R_{ki} при измерении плотности тепловых потоков с помощью тепломеров определяют по формуле

$$R_{ki} = (\tau_{ei} - \tau_{ni}) / q_i, \quad (5)$$

$$R_{k(1\text{ зона})} = \frac{16,5 - (-15,5)}{42} = 0,76 \text{ м}^2 \cdot \text{°C} / \text{Вт} \quad R_{k(2\text{ зона})} = \frac{16,0 - (-15,0)}{43} = 0,72 \text{ м}^2 \cdot \text{°C} / \text{Вт}$$

$$R_{k(3\text{ зона})} = \frac{19,5 - (-16,5)}{32} = 1,13 \text{ м}^2 \cdot \text{°C} / \text{Вт} \quad R_{k(4\text{ зона})} = \frac{13,4 - (-13,0)}{40} = 0,66 \text{ м}^2 \cdot \text{°C} / \text{Вт}$$

2.2. Приведенное термическое сопротивление испытываемого образца R_k^{np} , $\text{м}^2 \cdot \text{°C} / \text{Вт}$, определяют по формуле

$$R_k^{np} = (A_{ст} + A_p) / [(A_{ст} / R_k^{ст}) + (A_p / R_k^p)], \quad (8)$$

где $A_{ст}$, A_p — площади расчётной поверхности частей конструкции, м^2 .

Номера зон	1	2	3	4	Площадь конструкции
Площади, $\text{А}_{\text{м}^2}$	0,225	0,175	1,507	0,113	2,02

$$R_k^{np} = \frac{2,02}{\frac{0,225}{0,76} + \frac{0,175}{0,72} + \frac{1,507}{1,13} + \frac{0,113}{0,66}} = 0,990 \text{ м}^2 \cdot \text{°C} / \text{Вт}$$

2.3. Приведенное сопротивление теплопередаче испытываемого образца R_0^{np} , $\text{м}^2 \cdot \text{°C} / \text{Вт}$, при измерении плотности тепловых потоков с помощью тепломеров определяют по формуле

$$R_0^{np} = 1 / \alpha_o + R_k^{np} + 1 / \alpha_n, \quad (10)$$

где R_k^{np} — приведенное термическое сопротивление испытанного образца, $\text{м}^2 \cdot \text{°C} / \text{Вт}$;

α_o , α_n — коэффициенты теплоотдачи внутренней и наружной поверхностей образца, принимаемые равными; $\alpha_o = 8,0 \text{ Вт} / (\text{м}^2 \cdot \text{°C})$, $\alpha_n = 23,0 \text{ Вт} / (\text{м}^2 \cdot \text{°C})$.

$$R_0^{np} = 0,125 + 0,990 + 0,043 = 1,158 \text{ м}^2 \cdot \text{°C} / \text{Вт}.$$

Приведенное сопротивление теплопередаче R_0^{np} светопрозрачной конструкции составило 1,158 $\text{м}^2 \cdot \text{°C} / \text{Вт}$.

При температуре воздуха в теплой зоне климатической камеры $+20^\circ\text{C}$ и температуре в холодной зоне камеры -20°C



Испытания светопрозрачной конструкции из прессованных алюминиевых профилей стоечно-ригельной системы ТАТПРОФ TFS 50 с двухкамерными энергосберегающими стеклопакетами СПД 6SGRN-14ALAg-4M₁-14ALAg-6TOP N в климатической камере с автоматическим поддержанием температуры в холодной и теплой зонах, $-20^{\circ}\text{C}_{\text{т}}$, $+20^{\circ}\text{C}$

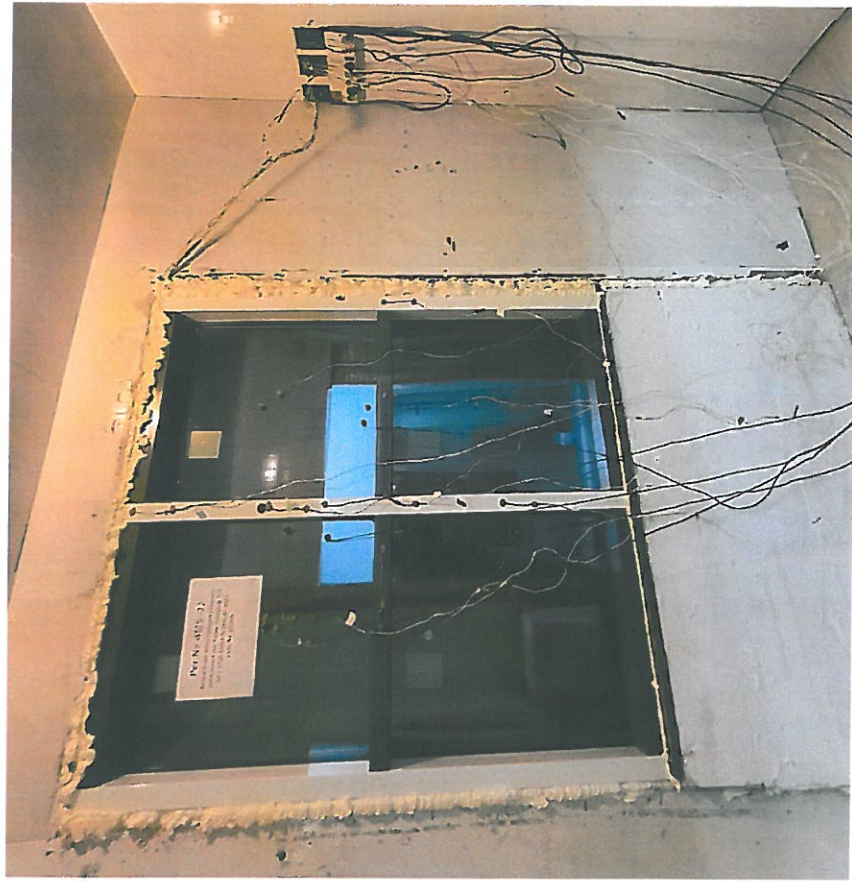
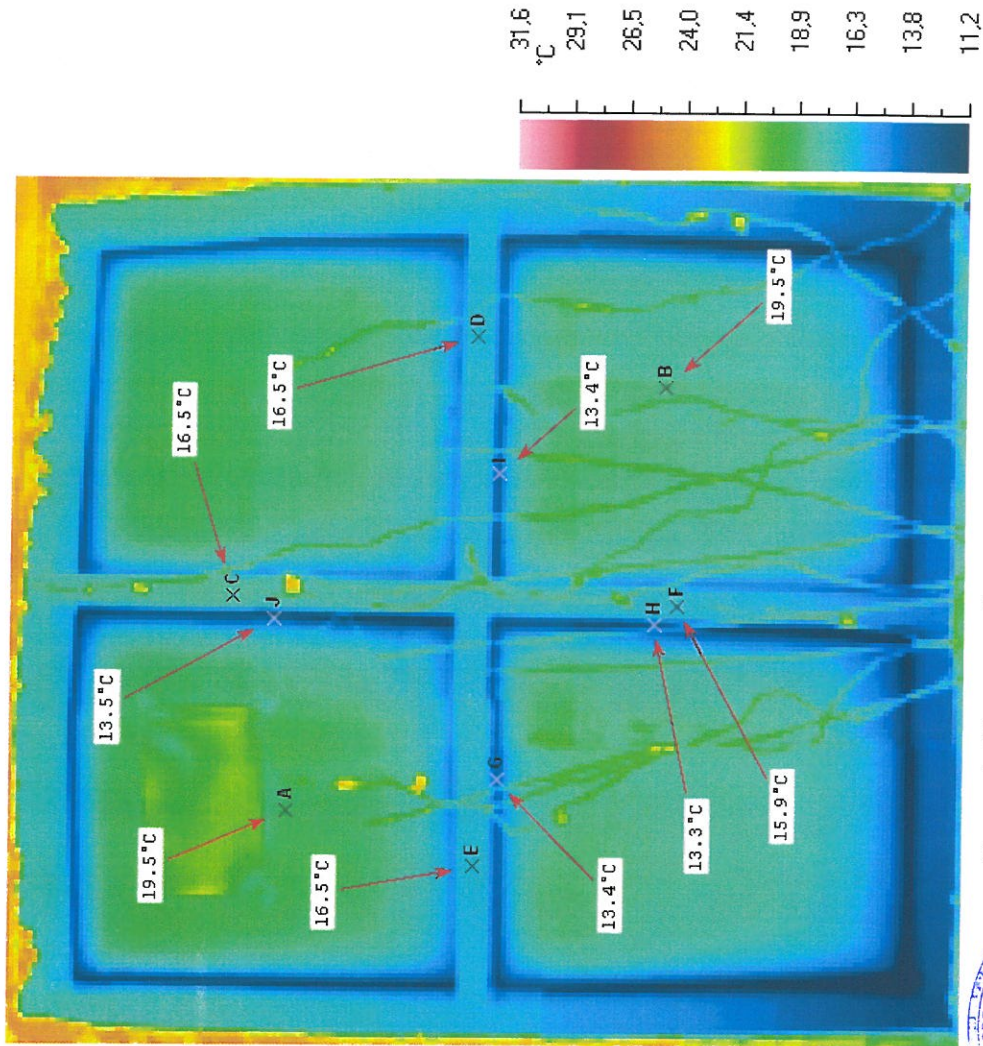


Фото 1. Светопрозрачная конструкция № 4825-22 в климатической камере (теплая сторона)



Терм. 1. Термографическое изображение



Основные показатели и результаты испытаний светопрозрачной конструкции из прессованных алюминиевых профилей стоечно-ригельной системы ТАТПРОФ TFS 50 с двухкамерными энергосберегающими стеклопакетами СПД 6SGRN-14ALAg-4M₁-14ALAg-6TOP N в климатической камере с автоматическим поддержанием температуры в холодной и теплой зонах.

3. Таблица показаний измеренных средних температур и теплового потока в характерных зонах за период стационарной теплопередаче

Номер характерной изотермической зоны (Площадь зоны)	Средняя температура на поверхности с внутренней стороны, °C τ_e	Средняя температура на поверхности с наружной стороны, °C τ_n	Средняя плотность теплового потока, Вт/м ² q_{ϕ}
Зона № 1 Зона непрозрачной части конструкции стойка ($A_1 = 0,225\text{ м}^2$)	12,7	-22,9	49
Зона № 2 Зона непрозрачной части конструкции ригель ($A_2 = 0,175\text{ м}^2$)	12,1	-22,5	50,5
Зона № 3 Зона светопропускающей части СПД ($A_3 = 1,507\text{ м}^2$)	15,7	-23,2	37
Зона № 4 Зона светопропускающей части крайняя зона СПД ($A_4 = 0,113\text{ м}^2$)	9,6	-19,5	46

Температурно-влажностный режим при испытании в камере поддерживался в пределах:

-в теплом отсеке температура 20,0-20,5⁰С; влажность 50-51%.

-в холодном отсеке температура -25,0 -25,5⁰С; влажность 60-61%.



4. Обработка результатов

4.1. Термическое сопротивление i -й однородной зоны испытываемого образца R_{ki} при измерении плотности тепловых потоков с помощью тепломеров определяют по формуле

$$R_{ki} = (\tau_{ei} - \tau_{ni}) / q_i, \quad (5)$$

$$R_{k(1\text{ зона})} = \frac{12,7 - (-22,9)}{49} = 0,73 \text{ м}^2 \cdot \text{°C} / \text{Вт} \quad R_{k(2\text{ зона})} = \frac{12,1 - (-22,5)}{50,5} = 0,69 \text{ м}^2 \cdot \text{°C} / \text{Вт}$$

$$R_{k(3\text{ зона})} = \frac{15,7 - (-23,2)}{37} = 1,05 \text{ м}^2 \cdot \text{°C} / \text{Вт} \quad R_{k(4\text{ зона})} = \frac{9,6 - (-19,5)}{46} = 0,63 \text{ м}^2 \cdot \text{°C} / \text{Вт}$$

4.2. Приведенное термическое сопротивление испытываемого образца R_k^{np} , $\text{м}^2 \cdot \text{°C} / \text{Вт}$, определяют по формуле

$$R_k^{np} = (A_{ct} + A_p) / [(A_{ct} / R_k^{ct}) + (A_p / R_k^p)], \quad (8)$$

где A_{ct} , A_p — площади расчётной поверхности частей конструкции, м^2 .

Номера зон	1	2	3	4	Площадь конструкции
Площади, м^2	0,225	0,175	1,507	0,113	2,02

$$R_k^{np} = \frac{2,02}{\frac{0,225}{0,73} + \frac{0,175}{0,69} + \frac{1,507}{1,05} + \frac{0,113}{0,63}} = 0,926 \text{ м}^2 \cdot \text{°C} / \text{Вт}$$

4.3. Приведенное сопротивление теплопередаче испытываемого образца R_0^{np} , $\text{м}^2 \cdot \text{°C} / \text{Вт}$, при измерении плотности тепловых потоков с помощью тепломеров определяют по формуле

$$R_0^{np} = 1 / \alpha_o + R_k^{np} + 1 / \alpha_n, \quad (10)$$

где R_k^{np} — приведенное термическое сопротивление испытанного образца, $\text{м}^2 \cdot \text{°C} / \text{Вт}$;
 α_o , α_n — коэффициенты теплоотдачи внутренней и наружной поверхностей образца, принимаемые равными;
 $\alpha_o = 8,0 \text{ Вт} / (\text{м}^2 \cdot \text{°C})$, $\alpha_n = 23,0 \text{ Вт} / (\text{м}^2 \cdot \text{°C})$.

$$R_0^{np} = 0,125 + 0,926 + 0,043 = 1,094 \text{ м}^2 \cdot \text{°C} / \text{Вт}.$$

Приведенное сопротивление теплопередаче R_0^{np} светопрозрачной конструкции составило 1,094 $\text{м}^2 \cdot \text{°C} / \text{Вт}$.

При температуре воздуха в теплой зоне климатической камеры $+20^\circ\text{C}$ и температуре в холодной зоне камеры -25°C



Испытания светопрозрачной конструкции из прессованных алюминиевых профилю стоечно-ригельной системы ТАТПРОФ TFS 50 с двухкамерными энергосберегающими стеклопакетами СПД 6SGRN-14AL-AG-4M₁-14AL-AG-6TOP N в климатической камере с автоматическим поддержанием температуры в холодной и теплой зонах $t_{н} -25^{\circ}\text{C}$ и $t_{в} +20^{\circ}\text{C}$

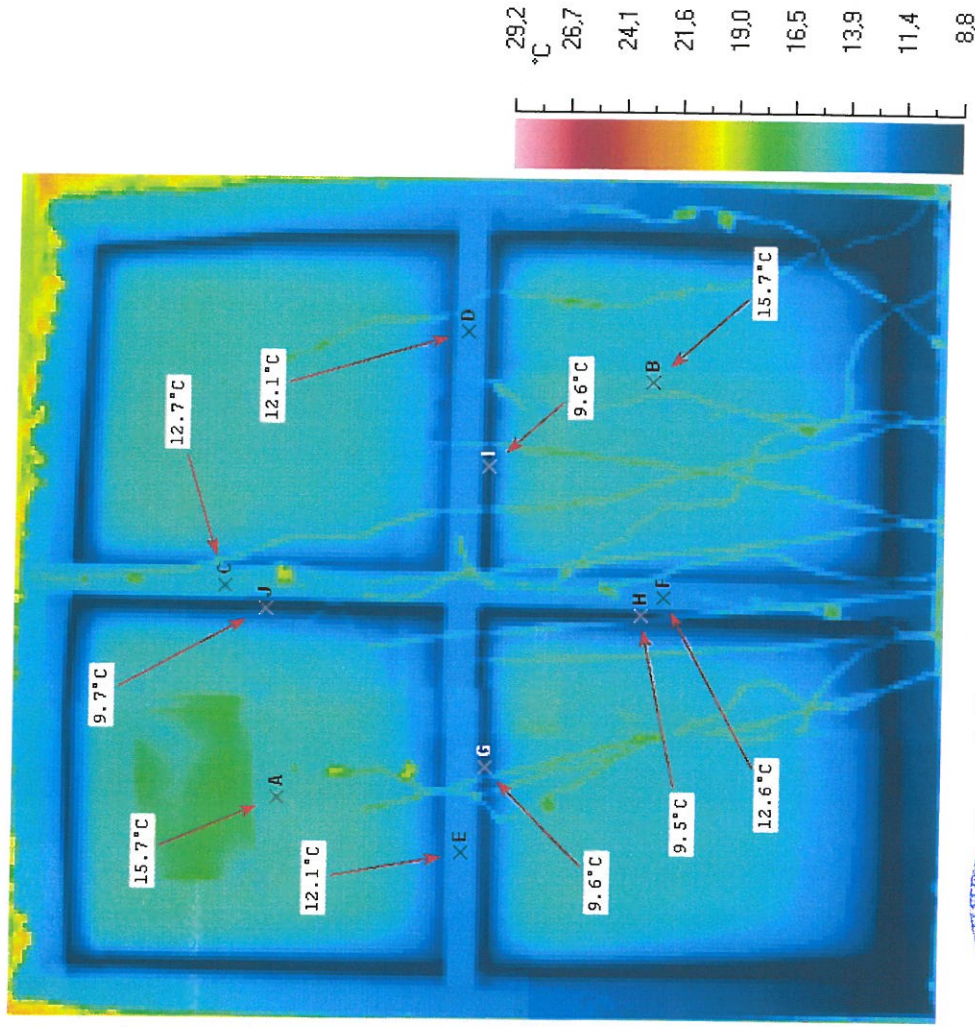
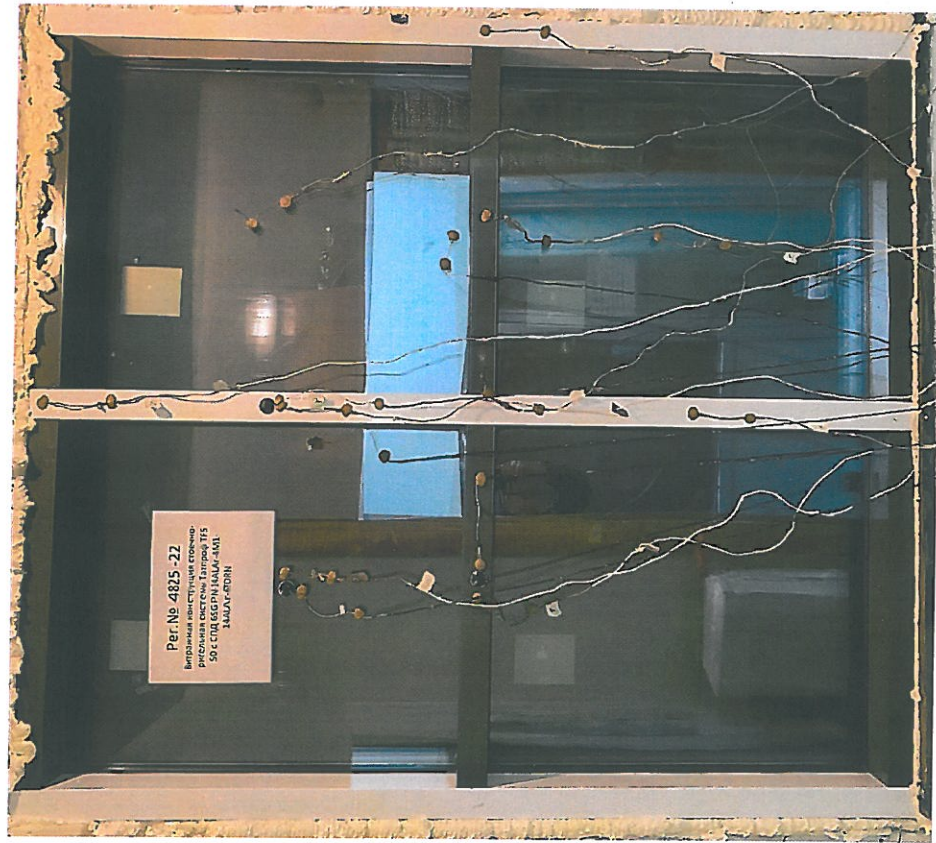


Фото 2. Светопрозрачная конструкция № 4825-22 в климатической камере (теплая сторона)

Терм. 2. Термографическое изображение



Основные показатели и результаты испытаний светопрозрачной конструкции из прессованных алюминиевых профилей стоечно-ригельной системы ТАТПРОФ TFS 50 с двухкамерными энергосберегающими стеклопакетами СПД 6SGRN-14ALAg-4M₁-14ALAg-6TOP N в климатической камере с автоматическим поддержанием температуры в холодной и теплой зонах.

5. Таблица показаний измеренных средних температур и теплового потока в характерных зонах за период стационарной теплопередаче

Номер характерной изотермической зоны (Площадь зоны)	Средняя температура на поверхности с внутренней стороны, °C τ_e	Средняя температура на поверхности с наружной стороны, °C τ_n	Средняя плотность теплового потока, Вт/м ² q_{ϕ}
Зона № 1 Зона непрозрачной части конструкции стойка ($A_1 = 0,225 \text{ м}^2$)	11,4	-27,4	58
Зона № 2 Зона непрозрачной части конструкции ригель ($A_2 = 0,175 \text{ м}^2$)	10,8	-27,1	60,5
Зона № 3 Зона светопропускающей части СПД ($A_3 = 1,507 \text{ м}^2$)	14,4	-26,4	42
Зона № 4 Зона светопропускающей части крайняя зона СПД ($A_4 = 0,113 \text{ м}^2$)	8,3	-22,6	51

Температурно-влажностный режим при испытании в камере поддерживался в пределах:

-в теплом отсеке температура 20,0-21,0°C; влажность 51-52%.

-в холодном отсеке температура -30,5 -31,0°C; влажность 58-59%.



Испытания светопрозрачной конструкции из прессованных алюминиевых профилей стоечно-ригельной системы ТАТРОФ TFS 50 с двухкамерными энергосберегающими стеклопакетами СПД 6SGRN-14ALAg-4M₁-14ALAg-6TOP N в климатической камере с автоматическим поддержанием температуры в холодной и теплой зонах $t_n -30^{\circ}\text{C}$, $t_p +20^{\circ}\text{C}$

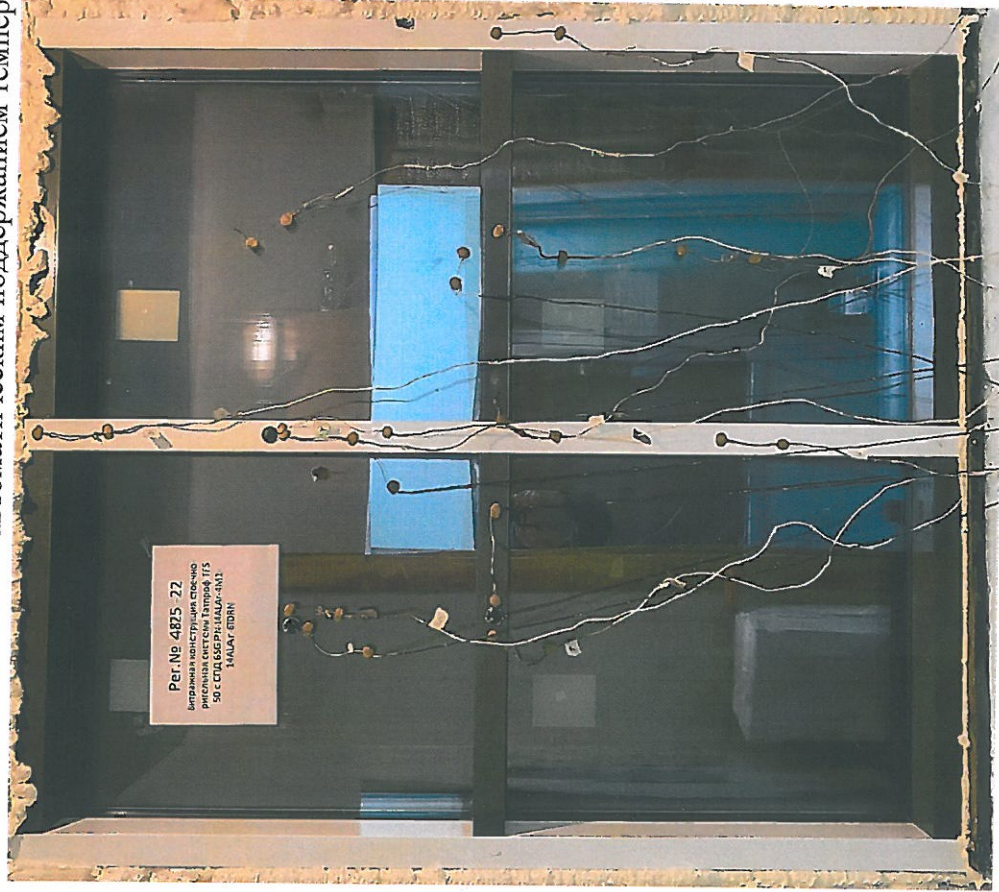
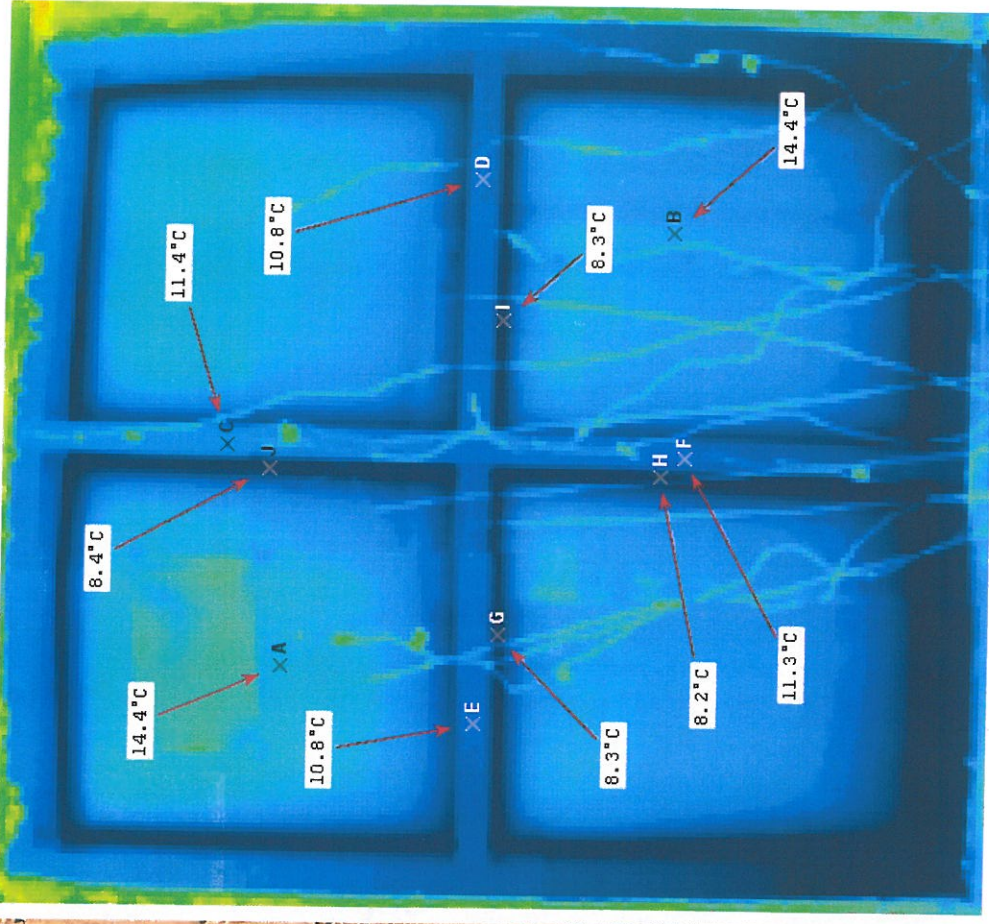


Фото 3. Светопрозрачная конструкция № 4825-22 в климатической камере (теплая сторона)



Терм. 3. Термографическое изображение



Основные показатели и результаты испытаний светопрозрачной конструкции из пресованных алюминиевых профилей стоечно-ригельной системы ТАТПРОФ TFS 50 с двухкамерными энергосберегающими стеклопакетами СПД 6SGRN-14ALAg-4M₁-14ALAg-6TOP N в климатической камере с автоматическим поддержанием температуры в холодной и теплой зонах.

7. Таблица показаний измеренных средних температур и теплового потока в характерных зонах за период стационарной теплопередаче

Номер характерной изотермической зоны (Площадь зоны)	Средняя температура на поверхности с внутренней стороны, °C $\tau_{в}$	Средняя температура на поверхности с наружной стороны, °C $\tau_{н}$	Средняя плотность теплового потока, Вт/м ² $q_{ф}$
Зона № 1 Зона непрозрачной части конструкции стойка ($A_1 = 0,225 \text{ м}^2$)	10,1	-31,9	65
Зона № 2 Зона непрозрачной части конструкции ригель ($A_2 = 0,175 \text{ м}^2$)	9,5	-31,4	69,5
Зона № 3 Зона светопропускающей части СПД ($A_3 = 1,507 \text{ м}^2$)	13,1	-31,1	48
Зона № 4 Зона светопропускающей части краевая зона СПД ($A_4 = 0,113 \text{ м}^2$)	7,0	-26,1	57

Температурно-влажностный режим при испытании в камере поддерживался в пределах:

- в теплом отсеке температура 20,0-20,5⁰С; влажность 53-54%.

- в холодном отсеке температура -35,0 -35,3⁰С; влажность 57-58%.



8. Обработка результатов

8.1. Термическое сопротивление i -й однородной зоны испытываемого образца R_{ki} при измерении плотности тепловых потоков с помощью тепломеров определяют по формуле

$$R_{ki} = (\tau_{ei} - \tau_{ni}) / q_i, \quad (5)$$

$$R_{к(1\text{ зона})} = \frac{10,1 - (-31,9)}{65} = 0,65 \text{ м}^2 \cdot \text{°C} / \text{Вт} \quad R_{к(2\text{ зона})} = \frac{9,5 - (-31,4)}{69,5} = 0,59 \text{ м}^2 \cdot \text{°C} / \text{Вт}$$

$$R_{к(3\text{ зона})} = \frac{13,1 - (-31,1)}{48} = 0,92 \text{ м}^2 \cdot \text{°C} / \text{Вт} \quad R_{к(4\text{ зона})} = \frac{7,0 - (-26,1)}{57} = 0,58 \text{ м}^2 \cdot \text{°C} / \text{Вт}$$

8.2. Приведенное термическое сопротивление испытываемого образца $R_{к}^{np}$, $\text{м}^2 \cdot \text{°C} / \text{Вт}$, определяют по формуле

$$R_{к}^{np} = (A_{ст} + A_p) / [(A_{ст} / R_{к}^{ст}) + (A_p / R_{к}^p)], \quad (8)$$

где $A_{ст}$, A_p — площади расчётной поверхности частей конструкции, м^2 .

Номера зон	1	2	3	4	Площадь конструкции
Площади, м^2	0,225	0,175	1,507	0,113	2,02

$$R_{к}^{np} = \frac{2,02}{\frac{0,225}{0,65} + \frac{0,175}{0,59} + \frac{1,507}{0,92} + \frac{0,113}{0,58}} = 0,814 \text{ м}^2 \cdot \text{°C} / \text{Вт}$$

8.3. Приведенное сопротивление теплопередаче испытываемого образца R_0^{np} , $\text{м}^2 \cdot \text{°C} / \text{Вт}$, при измерении плотности тепловых потоков с помощью тепломеров определяют по формуле

$$R_0^{np} = 1 / \alpha_e + R_{к}^{np} + 1 / \alpha_n, \quad (10)$$

где $R_{к}^{np}$ — приведенное термическое сопротивление испытанного образца, $\text{м}^2 \cdot \text{°C} / \text{Вт}$;
 α_e , α_n — коэффициенты теплоотдачи внутренней и наружной поверхностей образца, принимаемые равными;
 $\alpha_e = 8,0 \text{ Вт} / (\text{м}^2 \cdot \text{°C})$, $\alpha_n = 23,0 \text{ Вт} / (\text{м}^2 \cdot \text{°C})$.

$$R_0^{np} = 0,125 + 0,814 + 0,043 = 0,982 \text{ м}^2 \cdot \text{°C} / \text{Вт}.$$

Приведенное сопротивление теплопередаче R_0^{np} светопрозрачной конструкции составило 0,982 $\text{м}^2 \cdot \text{°C} / \text{Вт}$.
 При температуре воздуха в теплой зоне климатической камеры $+20^\circ\text{C}$ и температуре в холодной зоне камеры -35°C



Испытания светопрозрачной конструкции из прессованных алюминиевых стоечно-ригельных профилей системы ТАТПРОФ TFS 50 с двухкамерными энергосберегающими стеклопакетами СПД 6SGRN-14ALAg-4M₁-14ALAg-6TOP N в климатической камере с автоматическим поддержанием температуры в холодной и теплой зонах $t_{н} -35^{\circ}\text{C}$, $t_{г} +20^{\circ}\text{C}$

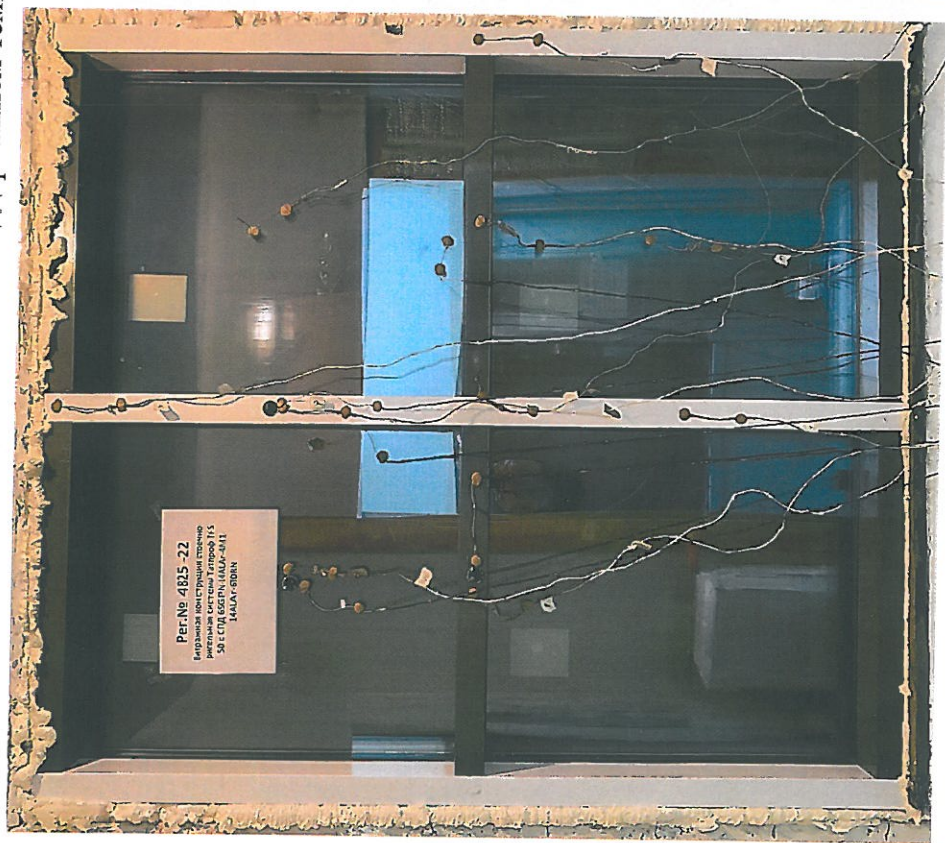
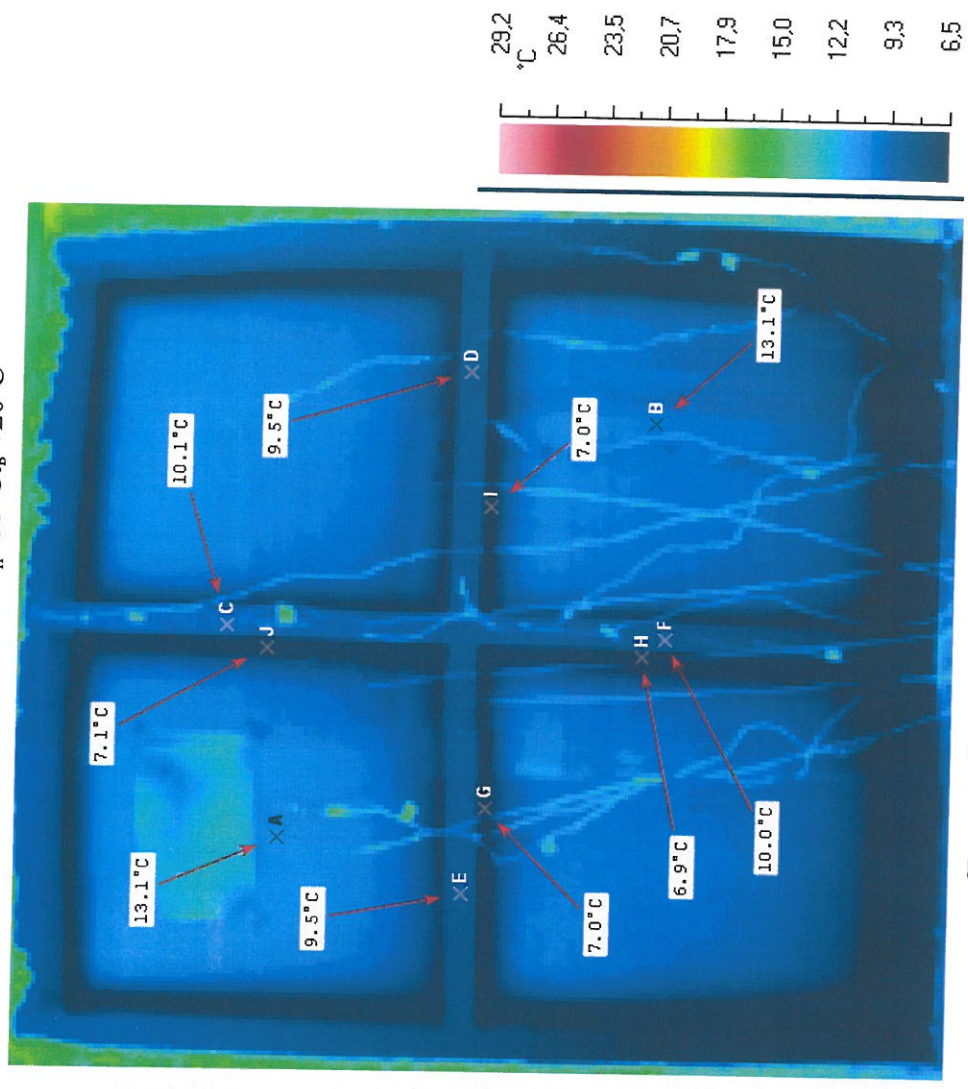


Фото 4. Светопрозрачная конструкция № 4825-22 в климатической камере (теплая сторона)



Терм. 4. Термографическое изображение

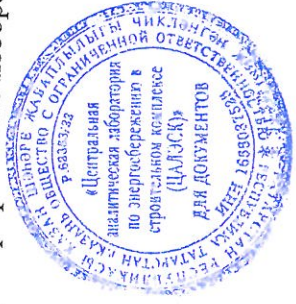




Фото 5. Испытание образца (рег. № 4825-22) на воздухопроницаемость



Фото 6. Испытание образца (рег. № 4825-22) на водопроницаемость



Фото 7. Камера низкого уровня, (испытание светопрозрачной конструкции рег. № 4825-22 в акустической камере)



Фото 8. Камера высокого уровня, (испытание светопрозрачной конструкции рег. № 4825-22 в акустической камере)





Фото 9. 10. Испытание светопрозрачной конструкции рег. № 4825-22 на сопротивление ветровым нагрузкам

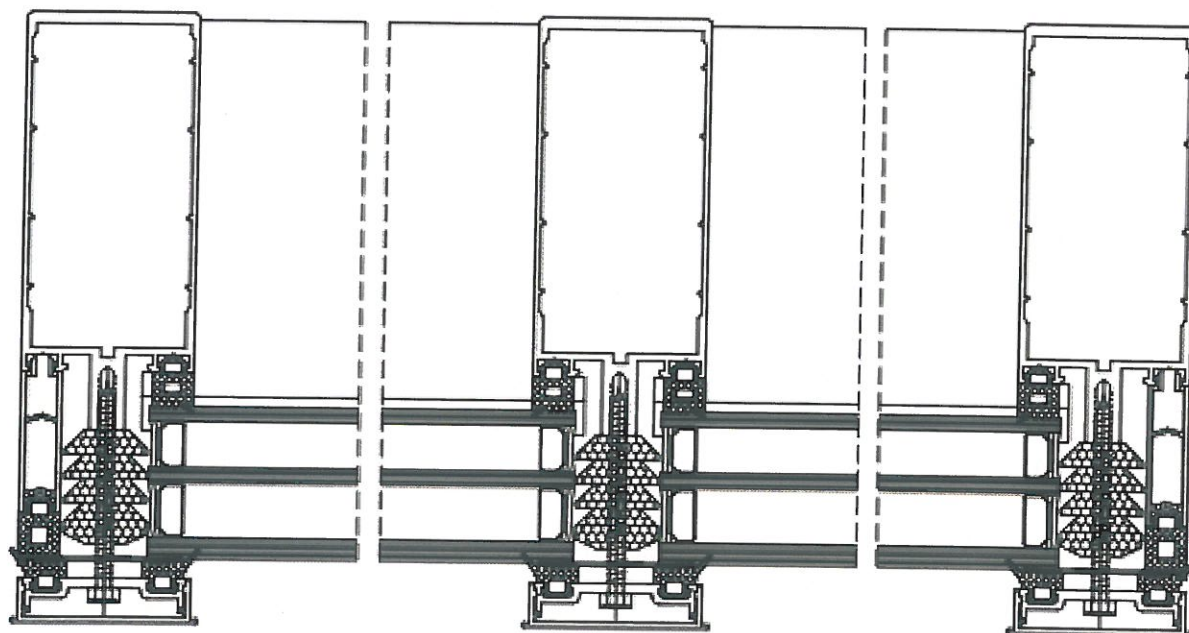


Рис. 1. Горизонтальный разрез испытываемой конструкции.

